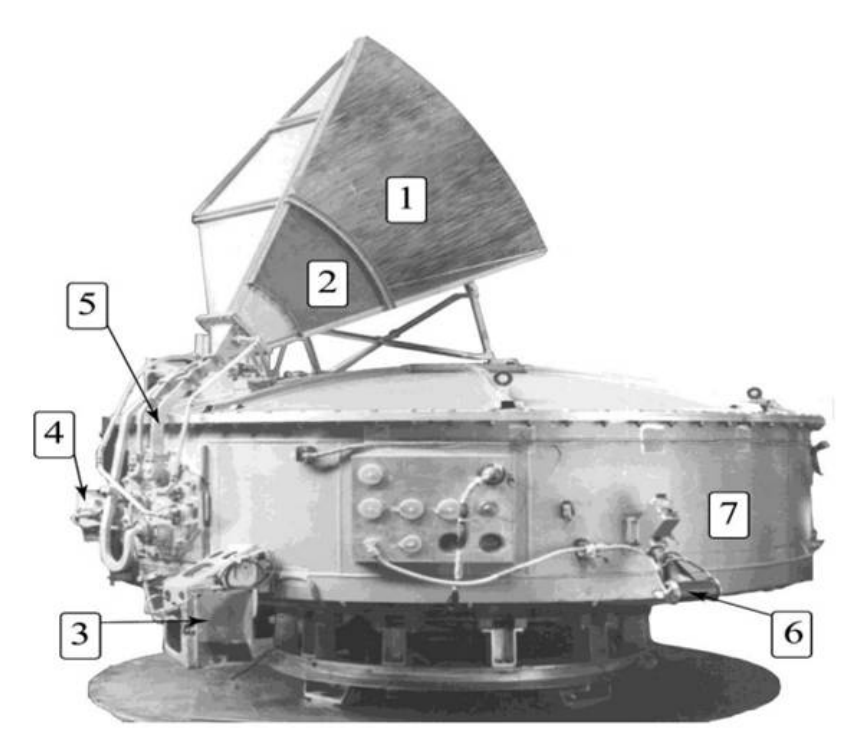
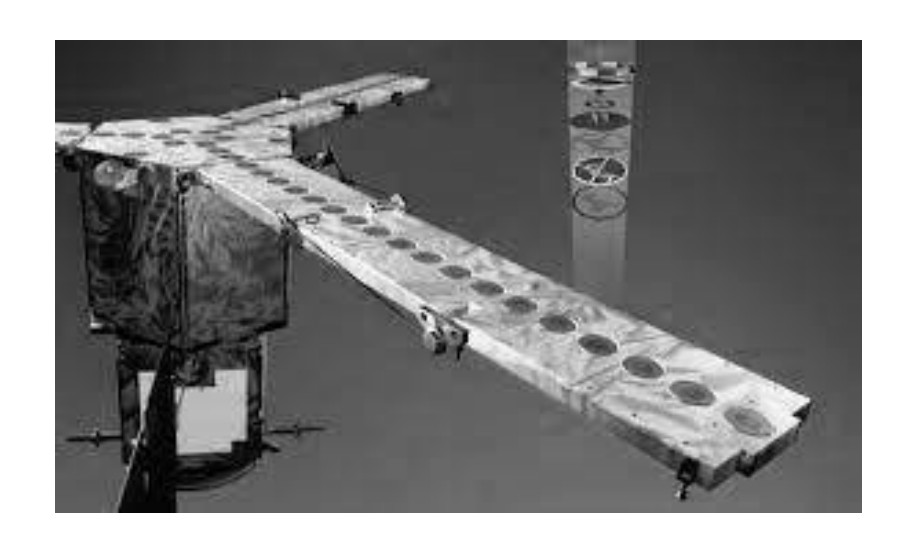
# История и перспективы развития средств спутниковой микроволновой радиометрии



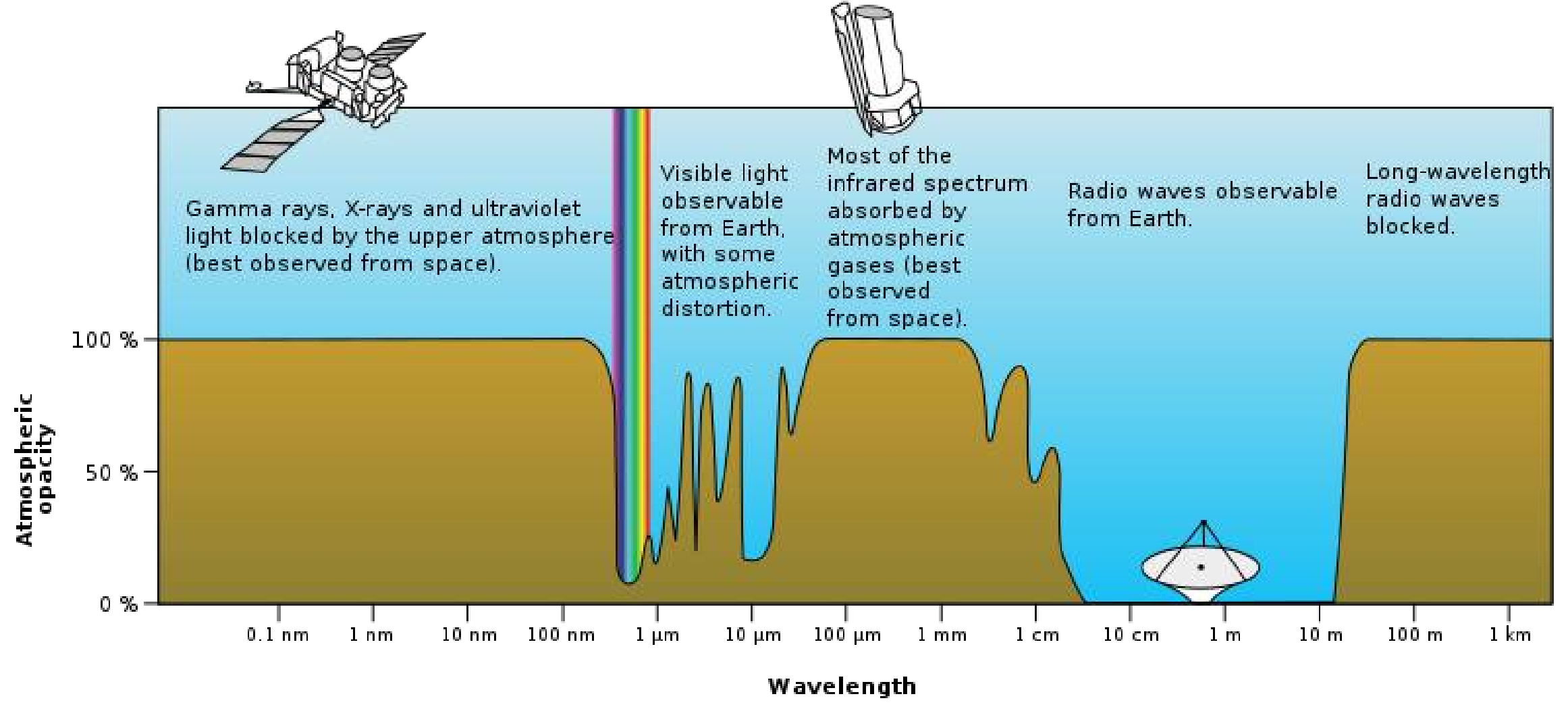


Д.М. Ермаков (ИКИ РАН)

XIII Международная школа-семинар «Спутниковые методы и системы изучения Земли», Таруса, 24.05.2025

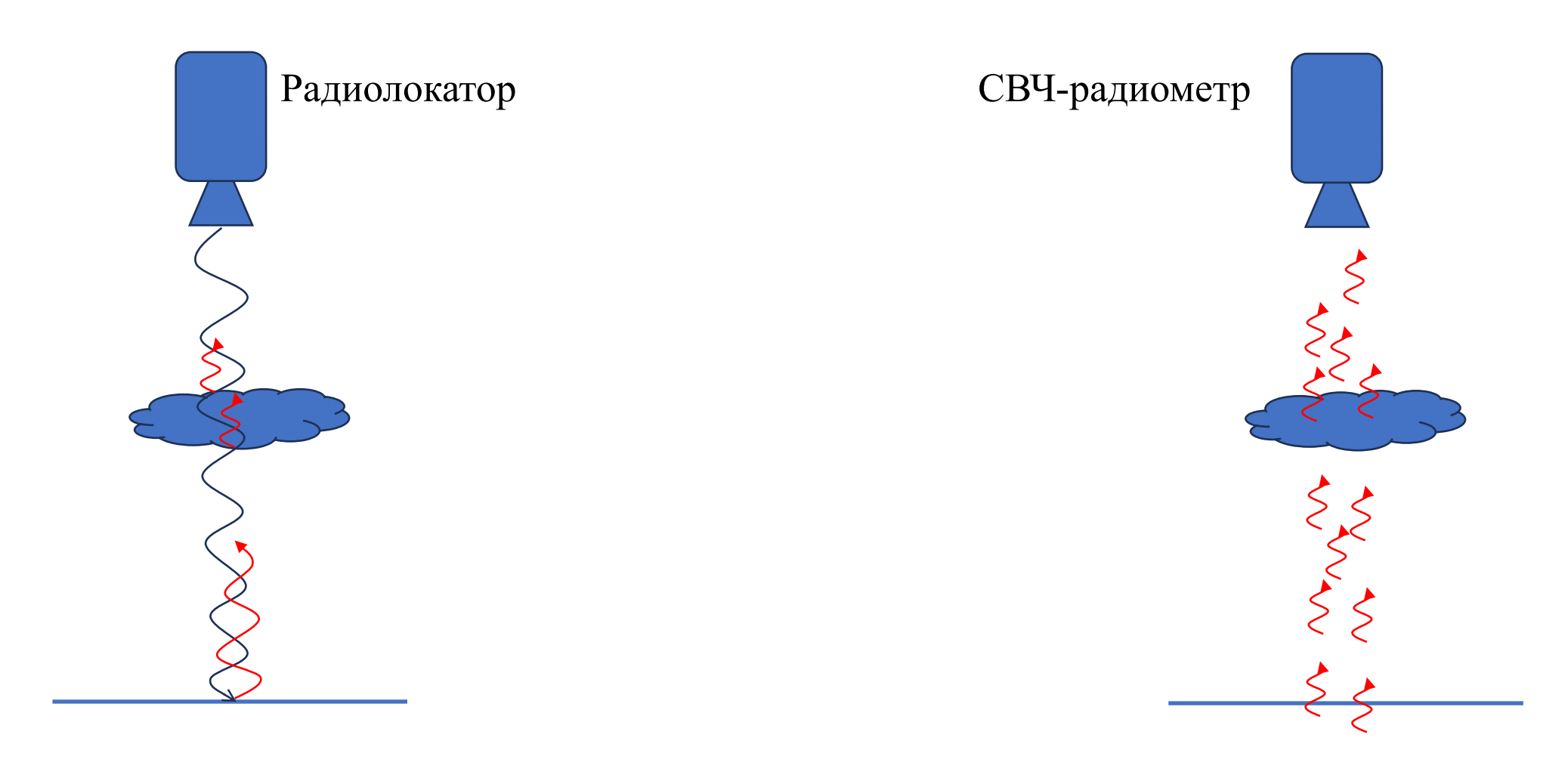
#### Пассивная микроволновая (СВЧ) радиометрия

**Пассивный** метод дистанционного исследования объектов интереса, основанный на измерениях характеристик их **собственного теплового излучения** в диапазоне длин волн от ~ 1 мм до ~ 1 м.





## Фундаментальная взаимодополняемость радиолокации и СВЧ-радиометрии





#### Истоки радиотеплового ДЗЗ: радиоастрономия

Dicke R.H. The measurement of thermal radiation at microwave frequencies // The Review of Scientific Instruments. 1946. V. 17. N. 7. P. 268–275.

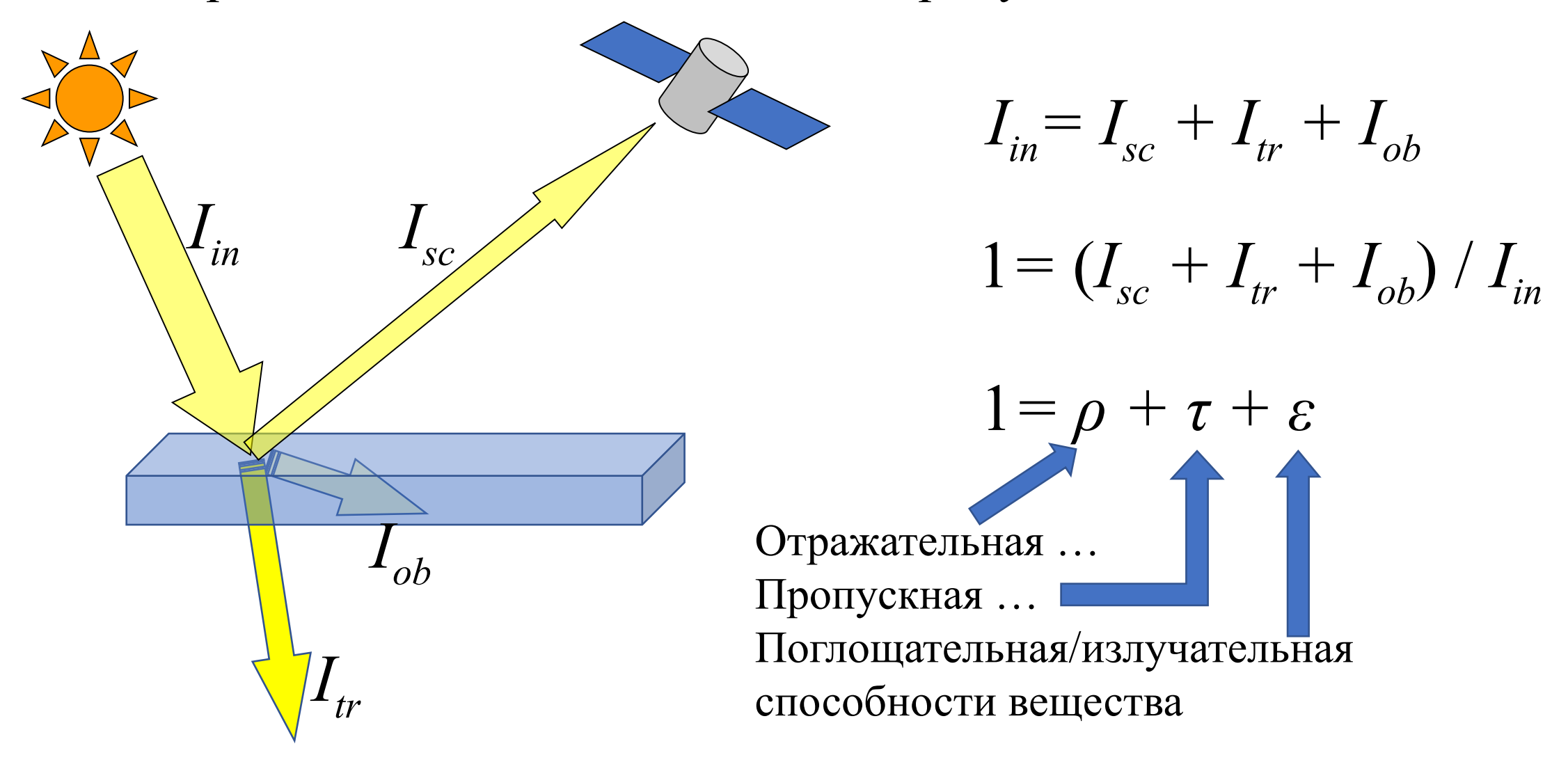
Dicke R.H., Beringer R., Kyhl R.L., Vane A.B. Atmospheric absorption measurements with a microwave radiometer // Physical review. 1946. V. 70. N. 5–6. P. 340–348



Роберт Генри Дикке (1916 – 1997)



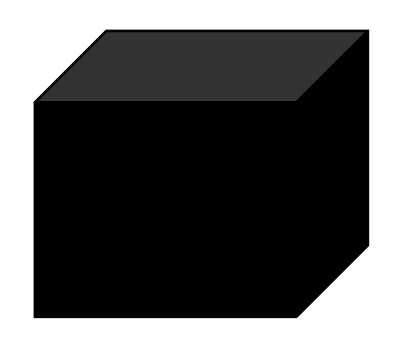
#### Отражательная, поглощательная, пропускная способности



Соотношения между ними зависят от частотного диапазона и направления распространения излучения, температуры объекта



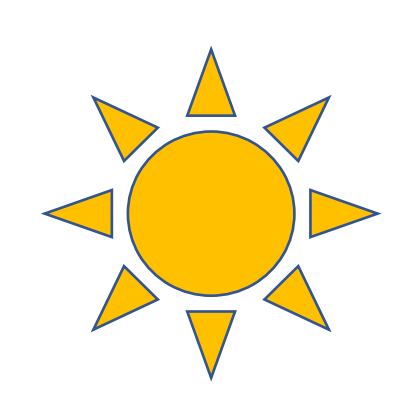
#### Абсолютно черное тело

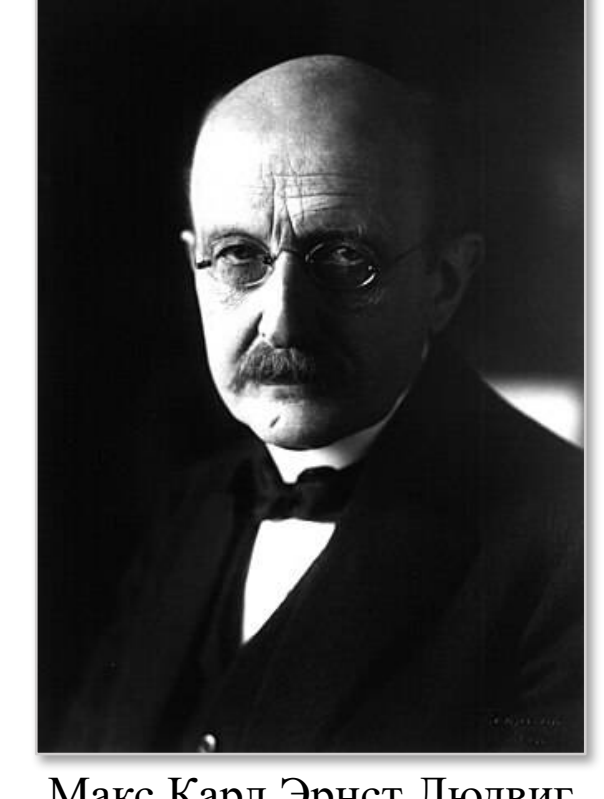


$$1 = \rho + \tau + \varepsilon$$

$$\rho = \tau = 0, \varepsilon = 1$$

Излучение абсолютно черного тела подчиняется закону Планка





Макс Карл Эрнст Людвиг Планк (1858 – 1947)

$$B(\lambda, T) = \frac{2\pi hc^2}{\lambda^5} \frac{1}{\frac{hc}{e^{\lambda kT} - 1}}$$

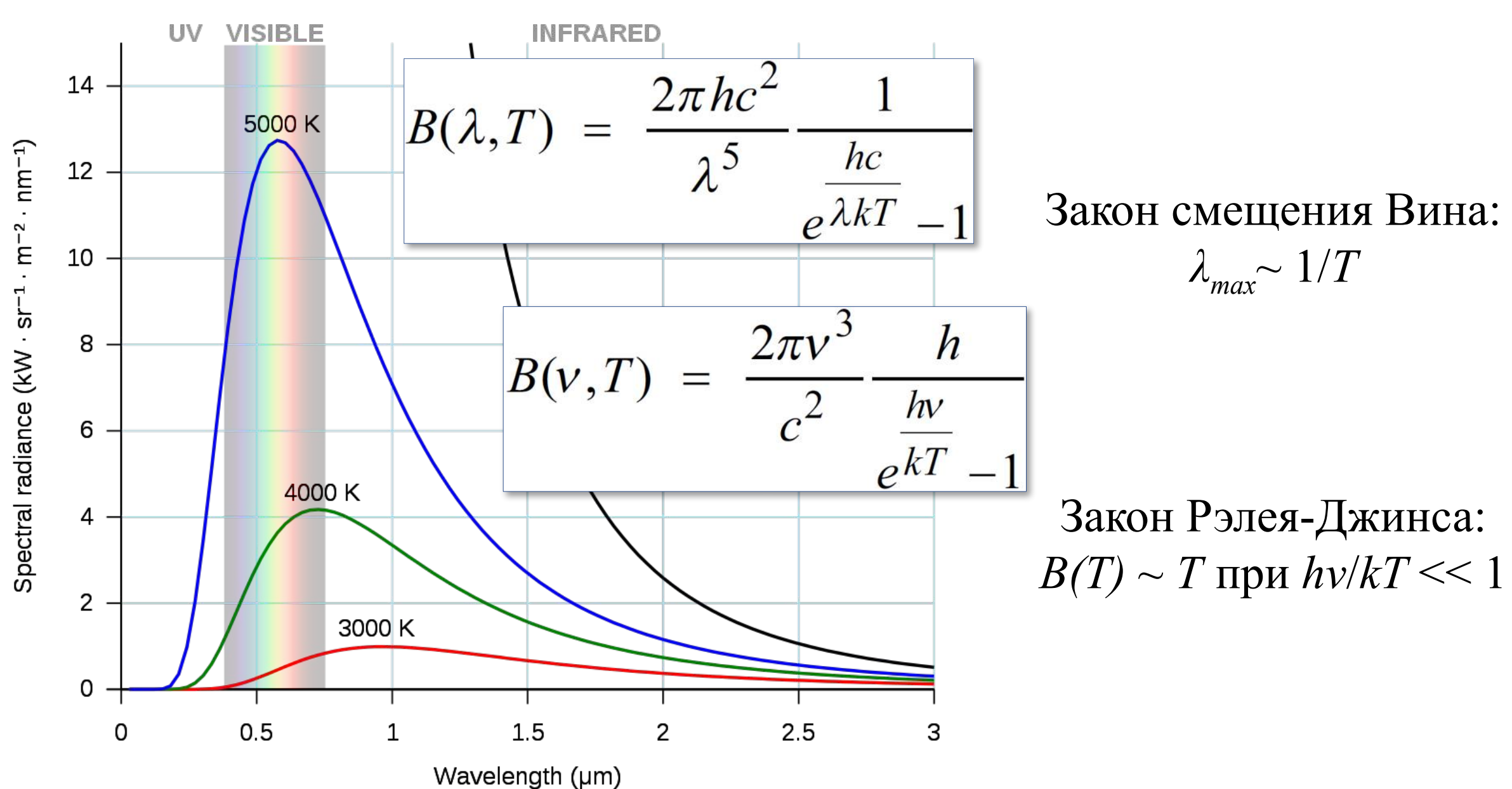
ИЛИ

$$B(v,T) = \frac{2\pi}{C}$$

 $e^{\frac{hv}{kT}}-1$ 

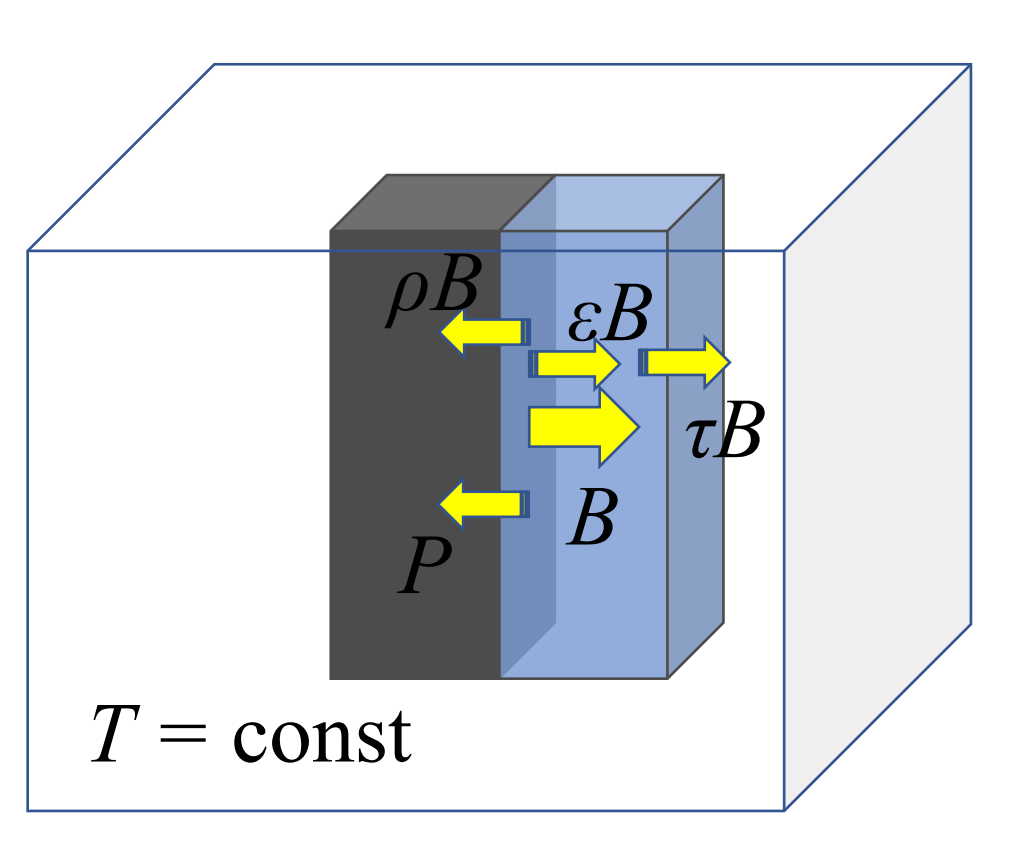


#### Свойства чернотельного излучения





### Закон Крихгофа. Понятие яркостной температуры



Энергия, излучаемая черным телом,

$$B = \rho B + \tau B + \varepsilon B$$

равна сумме энергий, рассеваемой, пропускаемой и поглощаемой серым телом.

Из условия термодинамического равновесия следует, что энергия, излучаемая серым телом,

$$P = \varepsilon B$$

равна поглощаемой энергии излучения черного тела.

То есть,  $\varepsilon$  – и коэффициент поглощения, и коэффициент излучения.

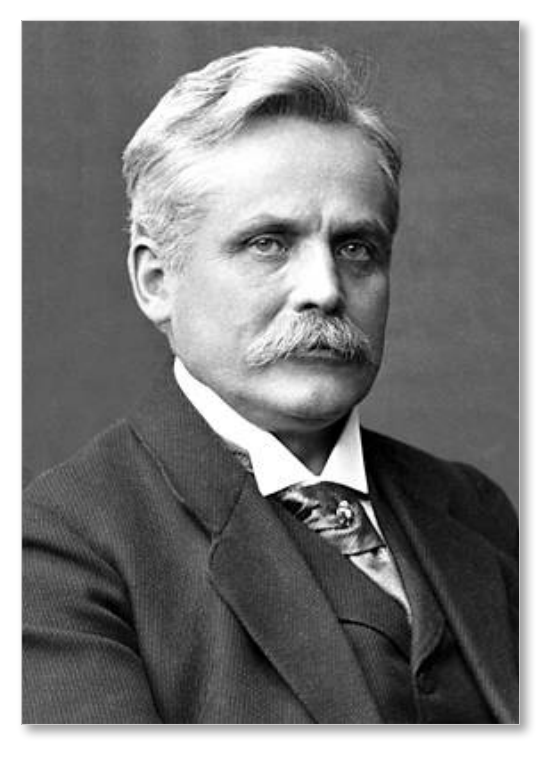
Если 
$$B(T) \sim T$$
, то  $P(T) = \varepsilon B(T) \sim \varepsilon T \equiv T_{br}$ 

 $T_{br}$  — (радио) яркостная температура тела при термодинамической, равной T. XIII Международная школа-семинар «Спутниковые методы и системы изучения Земли», Таруса, 24.05.2025

#### Четыре совершенно разных человека



Густав Роберт Кирхгоф (1824 – 1887)



Вильгельм Карл Вернер Отто Фриц Франц Вин (1864 – 1928)



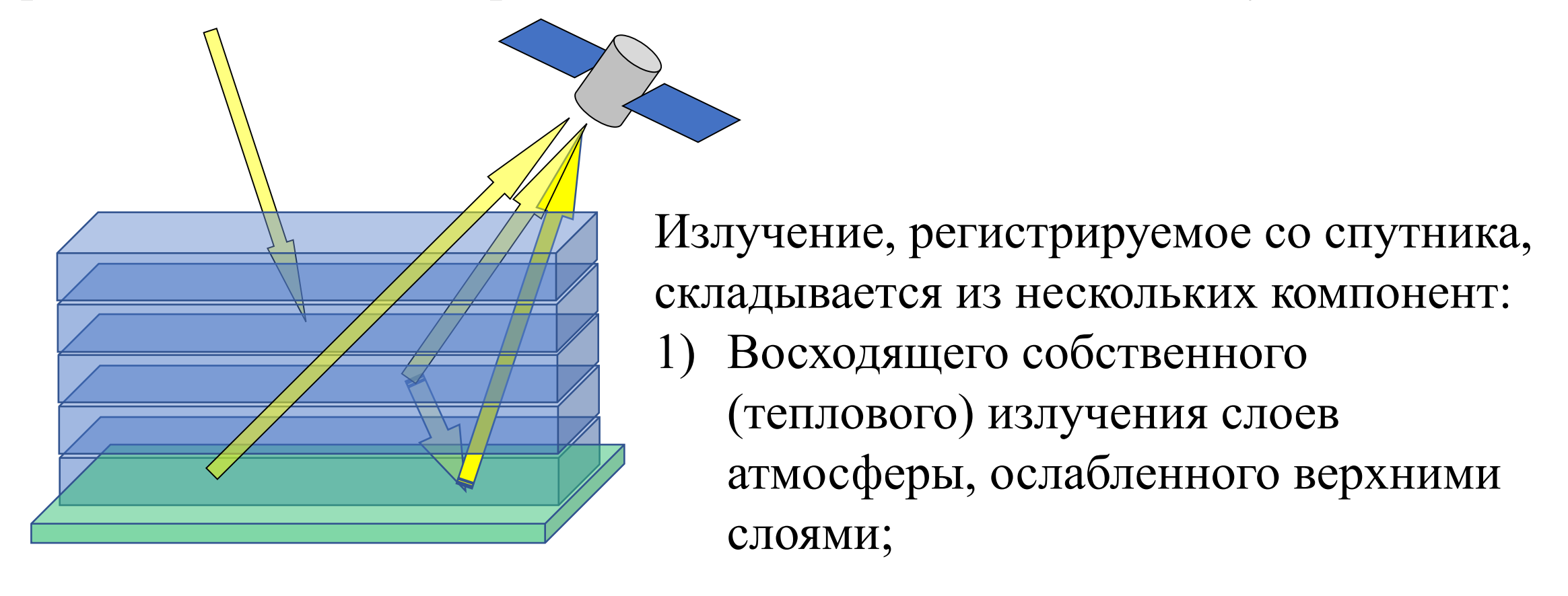
Джон Уильям Стретт Рэлей (1842 – 1919)



Джеймс Хопвуд Джинс (1877 – 1946)



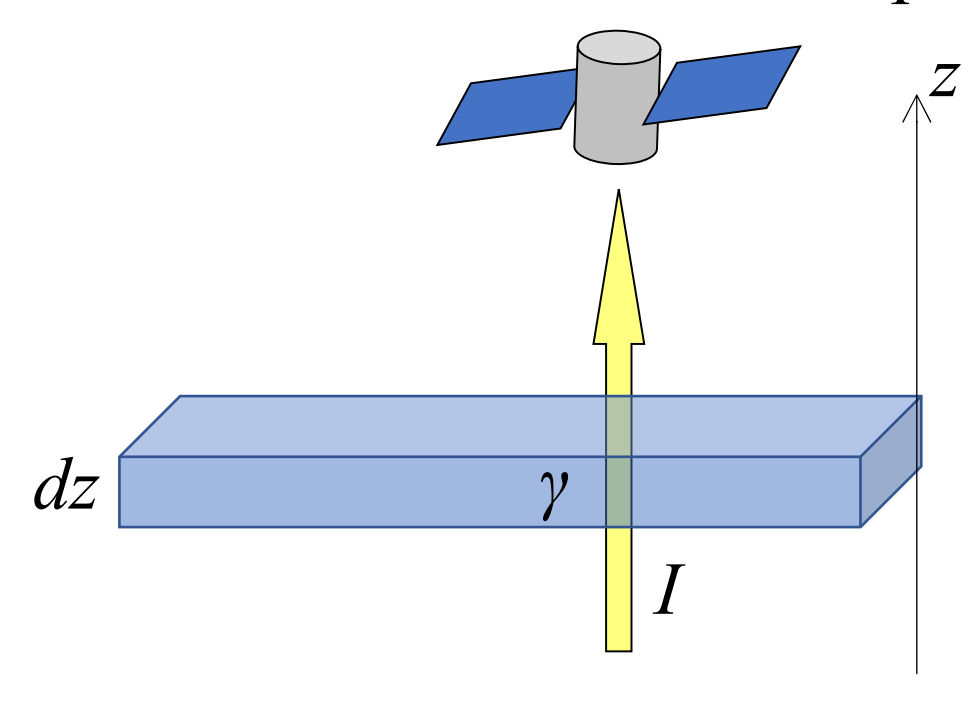
Формирование восходящего радиотеплового (собственного) излучения Земли



- 2) Нисходящего излучения атмосферы, частично отраженного подстилающей поверхностью и ослабленного в слоях атмосферы;
- 3) Собственного излучения подстилающей поверхности;
- 4) Внешнего излучения.



#### Ослабление радиоизлучения в атмосферном слое



Ослабление излучения, распространяющегося в заданном направлении, может быть обусловлено поглощением и рассеянием.

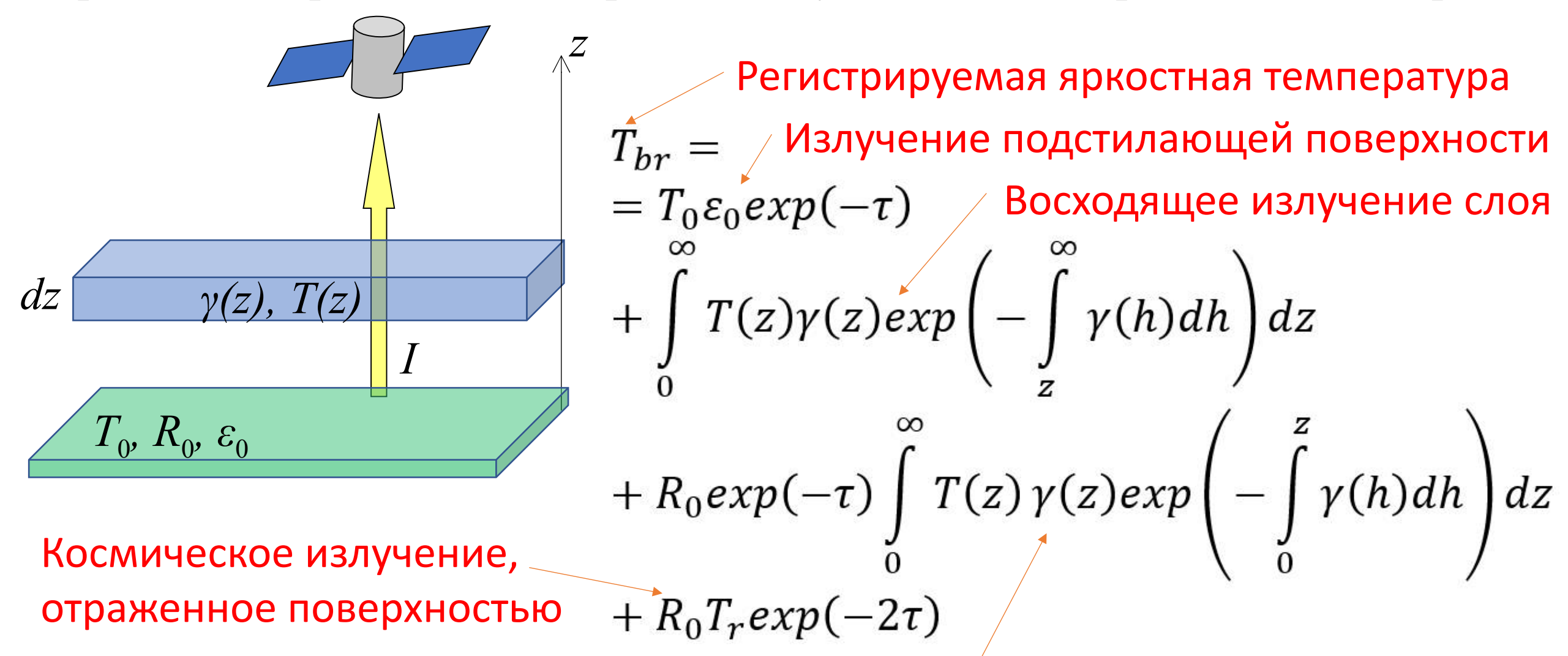
Погонный коэффициент ослабления  $\gamma$  в слое dz:

$$dI/dz = -\gamma I$$
 Отсюда:  $I(z) = I_0 exp \left(-\int_0^z \gamma(z) dz\right)$  Оптическая толщина атмосферы:  $\tau = \int_0^z \gamma(z) dz$ 

В микроволновом диапазоне ослабление излучения безоблачной атмосферой в основном связано с поглощением на газовых компонентах Н<sub>2</sub>О и О<sub>2</sub>.



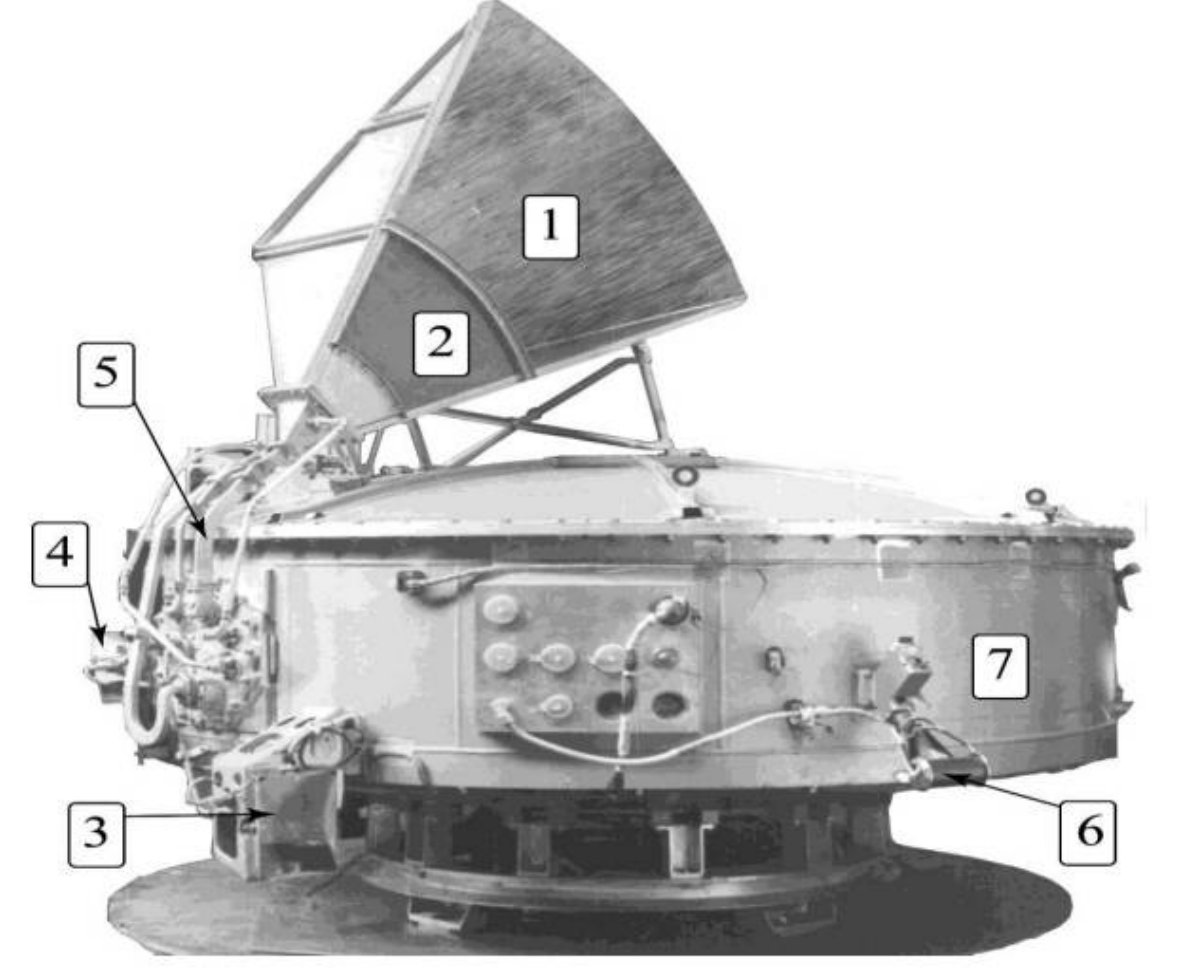
Уравнение вертикального переноса излучения в слабо рассеивающей среде



Нисходящее излучение слоя, отраженное поверхностью



## «Космос-243» (1968), «Космос-384» (1970)



#### Характеристики СВЧ радиометров

ПАРАМЕТР	КАНАЛЫ			
HAPAMETP	1	2	3	4
Длина волны, см	8.5	3.4	1.35	0.8
Флуктуационная чувствительность, К	0.7	0.6	1.3	1.9
Ширина луча антенны, град.	8.6	4.0	3.6	4.0

Фрагмент слайда презентации: Б.Г. Кутуза,

**Л.М. Митник, А.Б. Аквилонова** «Первый в мире эксперимент по микроволновому зондирования Земли из космоса на спутнике "Космос-243"», XVI Всероссийская Открытая конференция «Современные проблемы дистанционного зондирования Земли из космоса», ИКИ РАН, 12 – 16 ноября 2018 г.



#### Радиоизлучение Земли как планеты. Башаринов, Гурвич, Егоров (1974).



ские металлурги. С начала года коллектив нашей печи выдал более 200 тони высоколегированной стали сверх плана. Сегодня у всех у нас одно желание - по-ударному вершить четвертый год пятиновыми трудовыми победами ознаменовать великую дату - столетие со дня рождения В. И. Ленина,

Сталевар завода «Красный Октябрь», депутат Верховного Совета СССР.

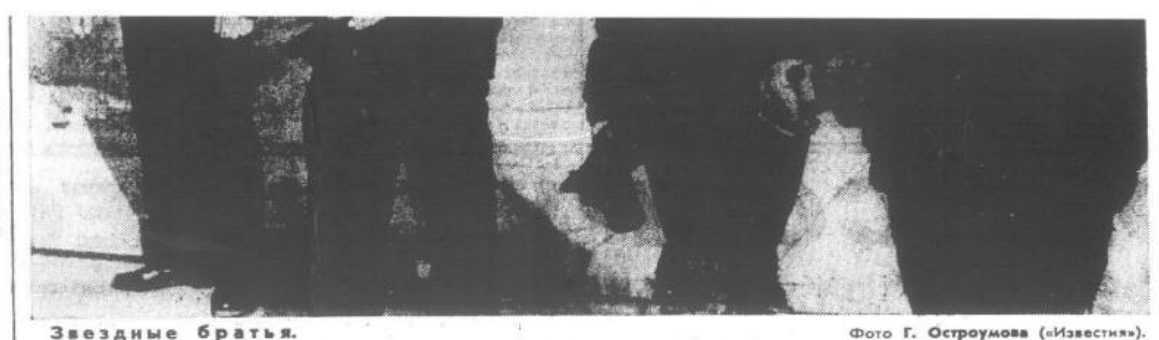


Фото Г. Остроумова («Известия»).

## РАДИОТЕЛЕСКОПЫ

ками из космоса с помощью обычного или инфракрасного телевидения не дают возможности унидеть тоге, что ваходится под облаками. В связи усовершенствования методов спутниковых измерений для определения физических паратуры, давления, влажности ков и других. здесь состоит в том, что единвеличиной является излучение поверхности вое или рассеянное солнечное. только в результате комплексиспользования всего го излучения атмосферы - от нифракрасного до радиоволно-

На запушенном 23 сентября 1968 года спутнике «Космос-243≽ был впервые в мире осу-

ществлен глобальный эксперимент по приему теплового ралионалучения Земли и ее атмосферы. Для этого на спутне воли от 8 миллиметров до направленными на Землю. Эти от них полной автоматизацией. Таким образом, спутник представлял собой автомати-На нем был установлен также узкополосный приемник ин-

Наклон орбиты спутника к экватору составлял 71,3 гравплоть до 71-го градуса широ-Результаты передавались на Землю по радиотелеметрической линии при прохождении спутника

преимущества открывает использование теплового радиоизлучения для определения параметров атмосферы? Преимущества заключаются преникают через облака, совершенно вепрозрачные для видимого и инфракрасного излуопределять температуру пору излучения на этих волнах не только обнаружить облака и осадки, но и измерить сомиллиметровом водяного пара, поэтому, из-

меряя интевсивность радиоиз-

бранных волнах, можно определить и содержание водяного

пара, т. е. влажность возлуха. Специальные расчеты показали и проведенный эксперимент подтвердил, что наиболее полные данные по определевию параметров атмосферы получаются при полете спутника с научной аппаратурой над океанами. Это обстоятельство особенно ценно, так как получаемые в настоящее время сведения об атмосфере именно над океанами крайне скудны. Между тем океаны являются гигантскими аккумуляторами солнечной энергии, которую они отдают в виде скрытой теплоты испарения. Эта теплота в значительной степени ∢питаеть энергиделяющие погоду на планете.

Кроме того, по собственному ралиоиалучению нал океаном легко определить наличие первые же сутки полета наопределил границу

эксперимента далеко не исчерпываются составлением карть льдов. Получены, например меридианальные разрезы тем пературы поверхности воды Тихом океане от Берингова моря до Антарктилы. Получение такого разреза за очени короткое время - всего не сколько десятков минут представляет большой интерес лля окевнологии.

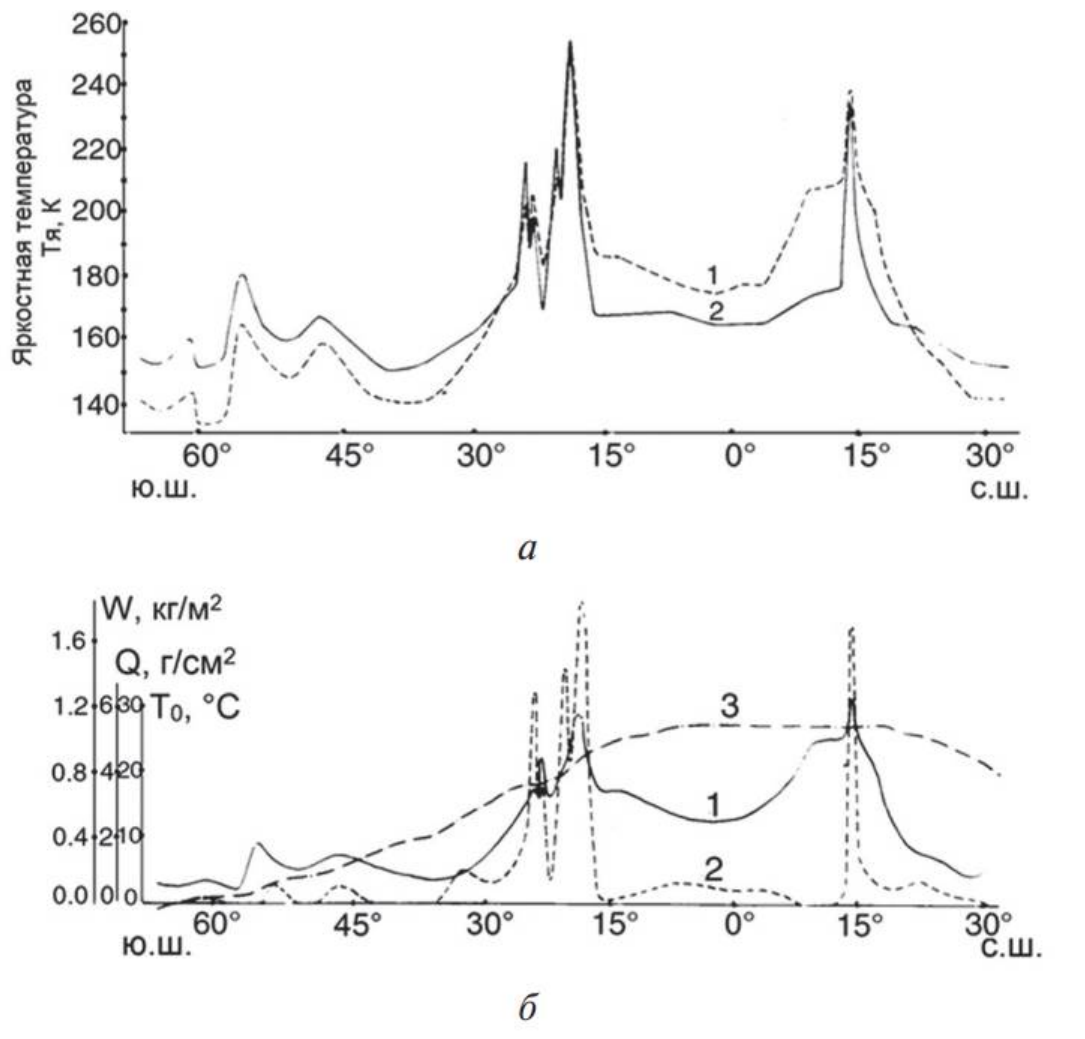
Олновременное излучения на различных вол метрового радиодиапазонов использование инфракрасно го излучения на спутнике «Космос-243» принесло уче ным обширные данные об ат мосфере и поверхности Зем ли. В недалеком будущем из мерения теплового радиоизлучения Земли будут широко ис пользоваться для исследова ния процессов, происходящи в атмосфере, в океанах, пр ном прогнозировании погоды и состояния моря.

пондент АН СССР; Д. ИЛЬИ-**ЧЕВ** — доктор технических наук; А. БАШАРИНОВ-профессор; А. ГУРВИЧ, С. ЕГО-РОВ — кандидаты техниче-

Башаринов (1920 – 1978)



#### Первые спутниковые радиотепловые измерения



Из статьи:

Б.Г. Кутуза, Л.М. Митник, А.Б. Аквилонова. Первый в мире эксперимент по микроволновому зондированию Земли из космоса на спутнике «Космос-243» // Современные проблемы дистанционного зондирования Земли из космоса. 2019. Т. 6. № 6. С. 9–30. DOI: 10.21046/2070-7401-2019-16-6-9-30

Исходно предполагалось (см. «Радиоизлучение Земли как планеты»), что связь между яркостными температурами и атмосферными параметрами может быть описана линейными регрессиями!

 $Puc.\ 2.\$ Профили: a — яркостной температуры на длинах волн 1,35 см (1) и 0,8 см (2);  $\delta$  — паросодержания атмосферы (1) и водозапаса облаков (2) по измерениям над Тихим океаном 23 сентября 1968 г. (8—9-й витки). Пунктирная линия 3 на  $puc.\ 2\delta$  — температура поверхности воды вдоль подспутниковой траектории по климатическим данным



### Основатели научных школ по ДЗЗ (включая радиофизику) в СССР



Кирилл Яковлевич Кондратьев (1920 - 2006)



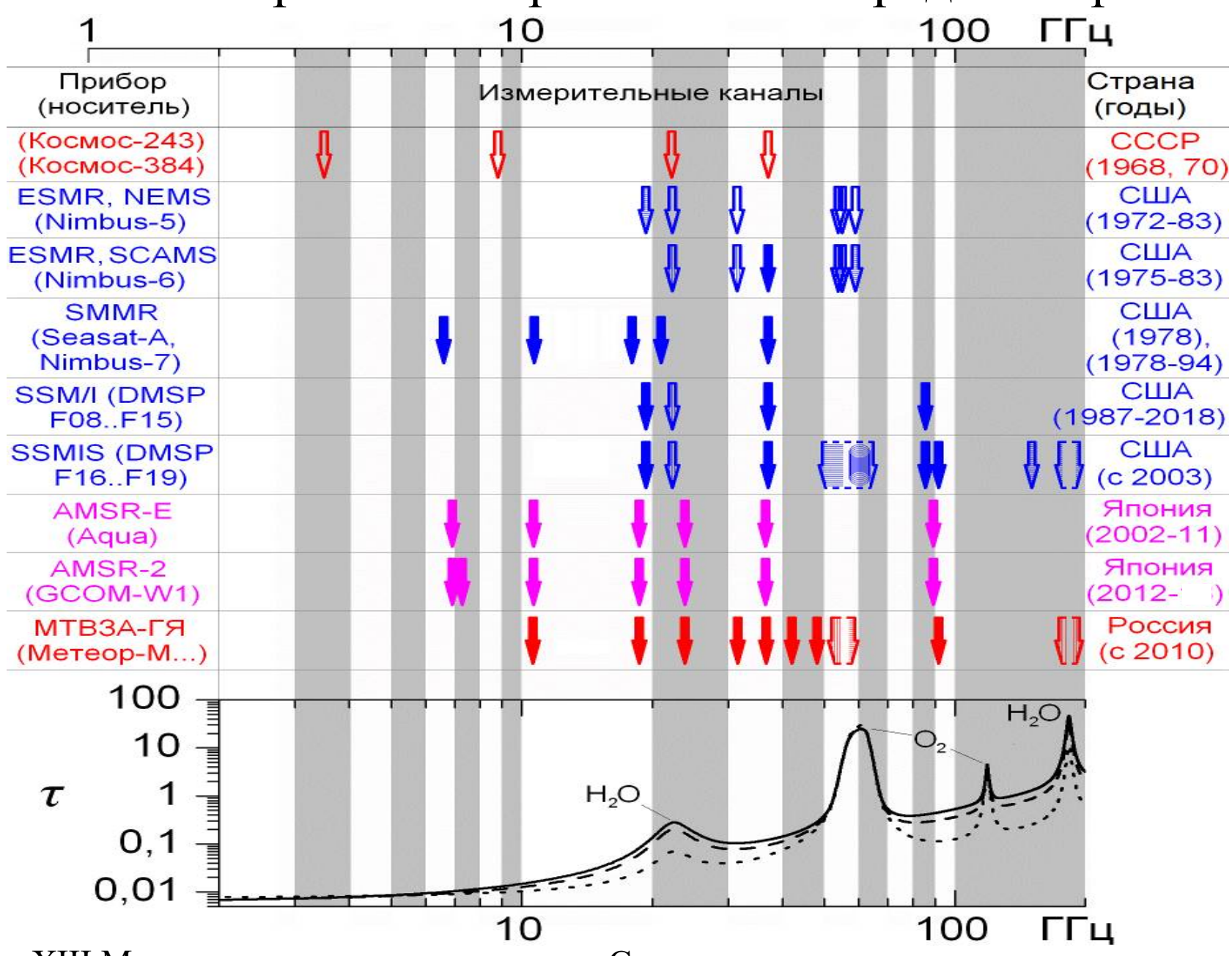
Неон Александрович Арманд (1932 – 2009)



Валентин Семенович Эткин (1931 – 1995)



### Хронология развития СВЧ-радиометрических спутников



Petty G.W. On the response of the Special Sensor Microwave/Imager to the marine environment – implications for atmospheric parameter retrievals. A dissertation ... for the degree of doctor of philosophy. University of Washington, Seattle, USA. 1990. 313 p.



## Алгоритмы восстановления интегрального влагосодержания атмосферы

$$\begin{aligned} Q &= 11,98 \ln \left(280 - T_{19V}\right) + 42,06 \ln \left(280 - T_{19H}\right) - 54,36 \ln \left(280 - T_{22V}\right) - 20,5 \end{aligned} \qquad \begin{aligned} & [\text{Petty, 1990}] \\ Q &= 171,4 + 4,638 \ln \left(300 - T_{19V}\right) - 61,76 \ln \left(300 - T_{22V}\right) + 19,58 \ln \left(300 - T_{37H}\right) \end{aligned} \qquad \begin{aligned} & [\text{Petty, 1994}] \\ Q &= 131,95 - 39,50 \ln \left(280 - T_{22V}\right) + 12,49 \ln \left(280 - T_{37V}\right) \end{aligned} \qquad \begin{aligned} & [\text{Ruprecht, 1996}] \\ Q &= 88,76 + 43,289 \ln \left(290 - T_{19V}\right) - 62,217 \ln \left(290 - T_{22V}\right) \end{aligned} \qquad \end{aligned} \end{aligned} \qquad \begin{aligned} & [\text{Wentz, 1995}] \\ Q &= 22,15 - 4,116 \ln \left(280 - T_{22V}\right) - 0,001777 \left(T_{19V} - \ln \left(280 - T_{22V}\right)\right) \\ Q &= 23,82 - 4,059 \ln \left(280 - T_{22V}\right) + 0,02451 \left(\ln \left(280 - T_{22V}\right) - T_{37V}\right) \end{aligned} \qquad \begin{aligned} & [\text{Schluessel, Emery, 1990}] \\ Q &= 22,73 - 3,969 \ln \left(280 - T_{22V}\right) - 0,03423 \left(T_{37V} - T_{86V}^{0.8}\right) \end{aligned} \qquad \end{aligned} \end{aligned} \qquad \begin{aligned} & [\text{Schluessel, Emery, 1990}] \\ Q &= 20,75 - 2,582 \ln \left(280 - T_{19H}\right) - 0,3919 \ln \left(280 - T_{19V}\right) - \end{aligned} \qquad \begin{aligned} & [\text{Lojou, Bernard, Eymard, 1994}] \\ &-3,610 \ln \left(280 - T_{22V}\right) + 2,729 \ln \left(280 - T_{37H}\right) - 0,5118 \ln \left(280 - T_{37V}\right) \end{aligned} \end{aligned}$$

**Метод последовательных приближений [Wentz, 1997**; Sohn, Smith, 2003 и др.].

 $Q = -3,753 + 1,507Q_4 - 0,1933Q_4^2 + 0,00219Q_4^3$ 

 $Q = 232,894 - 0.149T_{19V} - 1.829T_{22V} - 0.370T_{37V} + 0.0062T_{22V}^{2}$ 



[Alishouse et al., 1990]

[Sun, Weng, 2008]

#### Основные типы и примеры современных спутниковых СВЧ-радиометров

#### Трассовые СВЧ радиометры (в поддержку радарной альтиметрии)

AMR (Jason-3, NASA); AMR-C (Sentinel-6, ESA); MW radiometer (SWOT, NASA); MWR (Sentinel-3A,B, ESA)

#### СВЧ-радиометры конического сканирования

AMSR-2 (GCOM-W1, JAXA); AMSR-3 (GOSAT-GW, JAXA, c 2023); COWVR (ISS, NASA); GMI (GPM Core Observatory, NASA); MADRAS (Megha-Tropiques, ISRO, до 2022); MTB3A-ГЯ (Метеор-М №2-2,3,4, Роскосмос); MWRI (FY-3D, CMA, до 2022); MWRI (HY-2, NSOAS); SMAP (SMAP, NASA); SSMIS (DMSP F-17,-18, NASA, до 2022); TMS (TROPICS-1 Pathfinder, NASA)

#### СВЧ-радиометры поперечного сканирования

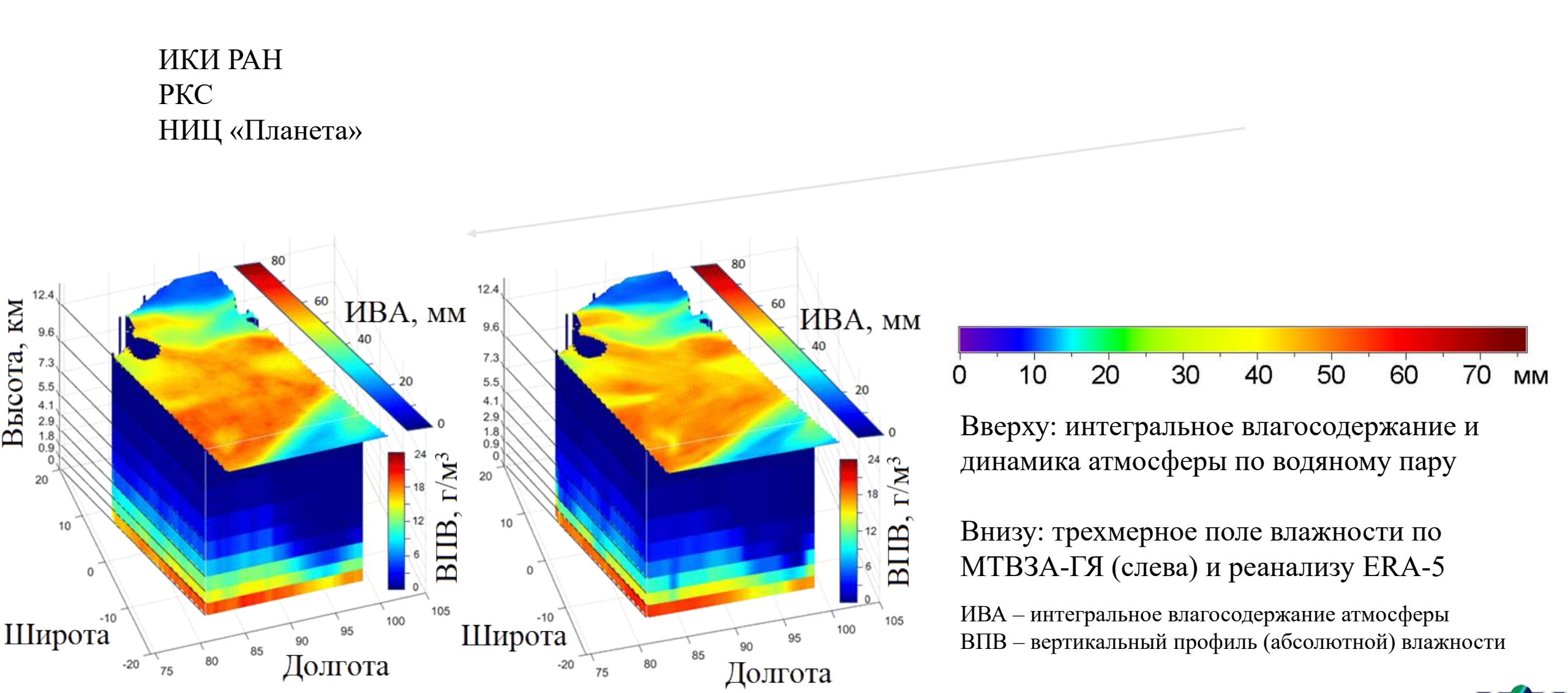
AMSU-A (Aqua, Metop-B,-C, NOAA-15,-18,-19, NOAA); AMSU-B (NOAA-15, UKSA); ATMS (SNPP, NOAA-20, NASA), MHS (Metop-B,-C, NOAA-18,-19, EUMETSAT); MM Radiometer (ISS, NASA); MWHS-2 (FY-3E, CMA); MWTS-3 (FY-3E, CMA); SAPHIR (Megha-Tropiques, CNES, до 2022);

#### СВЧ-радиометры с апертурным синтезом

MIRAS (SMOS, ESA)

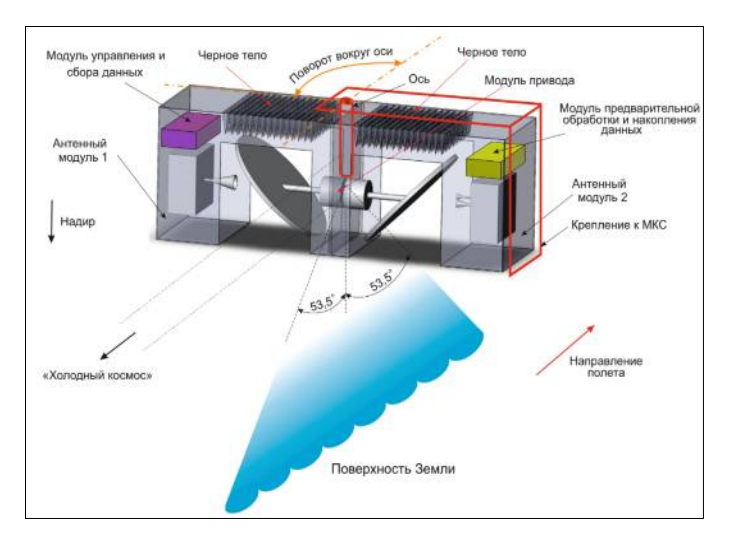


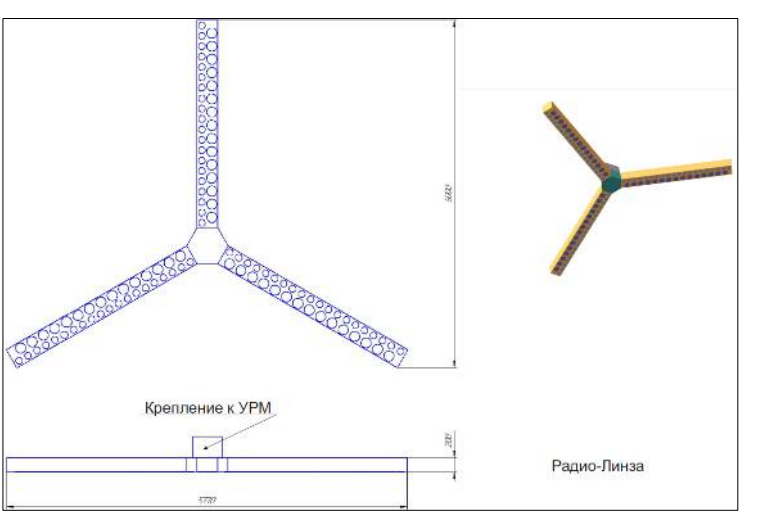
### Пример использования данных МТВЗА-ГЯ на спутнике «Метеор М2-2»

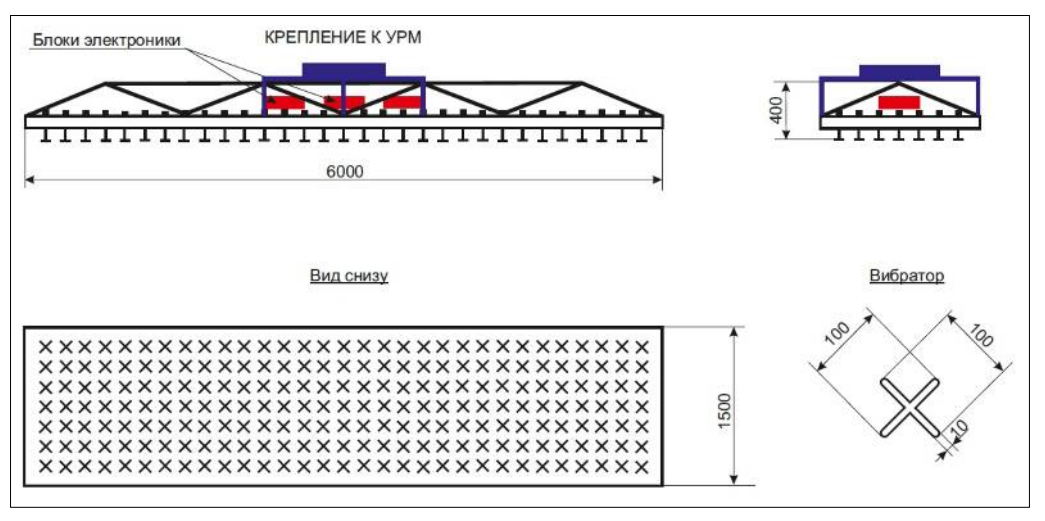


XIII Международная школа-семинар «Спутниковые методы и системы изучения Земли», Таруса, 24.05.2025

#### Концепция ИКИ РАН радиофизических экспериментов по ДЗЗ на РОС







«Конвергенция-М»: радиотомография атмосферы Земли

«Радио-линза»: пассивный апертурный синтез (две частоты)

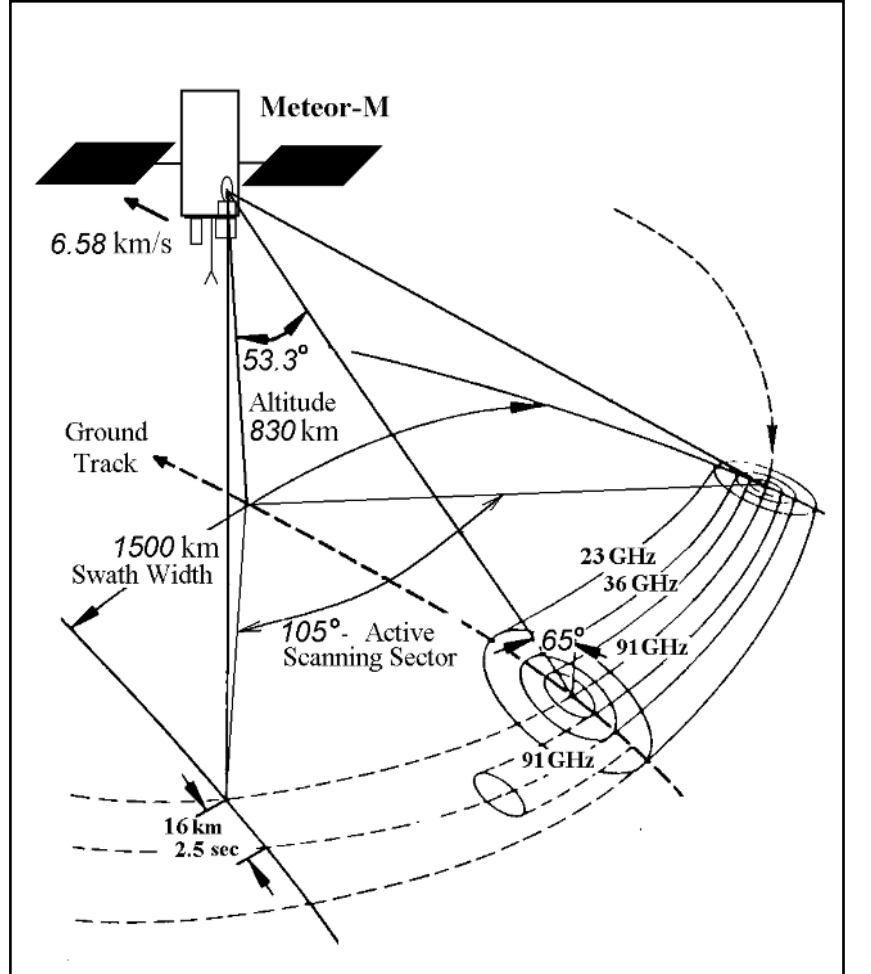
«Криосфера»: радар с синтезированной апертурой S/L-диапазона (10 – 20 см)

Проект	ИД на ТЗ	(Включая ТЭЭ)	Заключение о ТР
Радио-Линза	согласованы	согласованы	получено
Конвергенция-М	согласованы	согласованы	получено
Криосфера	на согласовании	на согласовании	получено



#### Проблемы развития элементной базы



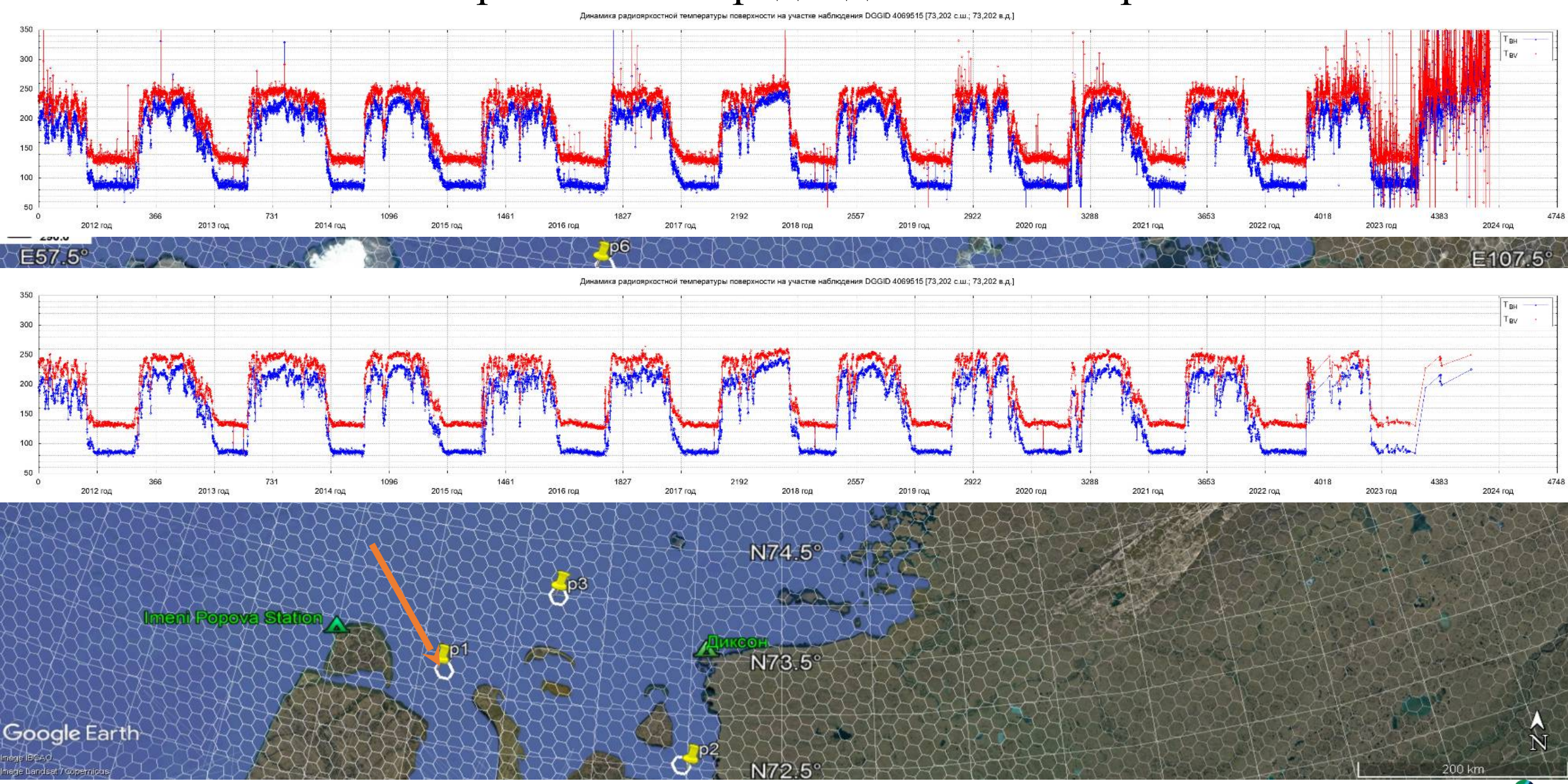


Частота,	Поле зрения,		Размер пикселя,	
ГГц	KM × KM		KW × KW	
6.9	133 x 297		32 x 32	
10.6	89 x 198		32 x 32	
18.7	52 x 116		32 x 32	
23.8	42 x 94		32 x 32	
31.5	35 x 76		32 x 32	
36.5	30 x 67		32 x 32	
42.0	26 x 60		32 x 32	
48.0	24 x 43		32 x 32	
91.65	14 x		16 x 16	
52.80/V (O1	,	198	32 x 32	
53.30/V (O2	<b>\</b>	[16] 94	Водяной пар	
53.80/V (O3	)	<del>76</del> 183	$3.31 \pm 7.0$ /V (H1)	
54.64/V (O4	)	<b>67</b> 18	$3.31 \pm 3.0$ /V (H2)	
55.63/V (O5 $v_0 \pm 0.1/H$ (O	<b>,</b>	60 43	$3.31 \pm 1.4/V \text{ (H3)}$	
$v_0 \pm 0.05/H$	<b>(O7)</b>	30	16 x 16	
$v_0^{\circ} \pm 0.025/H$				
$v_0 \pm 0.01/H$	(O9)			
$v_0 \pm 0.005/H$	(O10)			
57,29±0,32	2 ГГц			

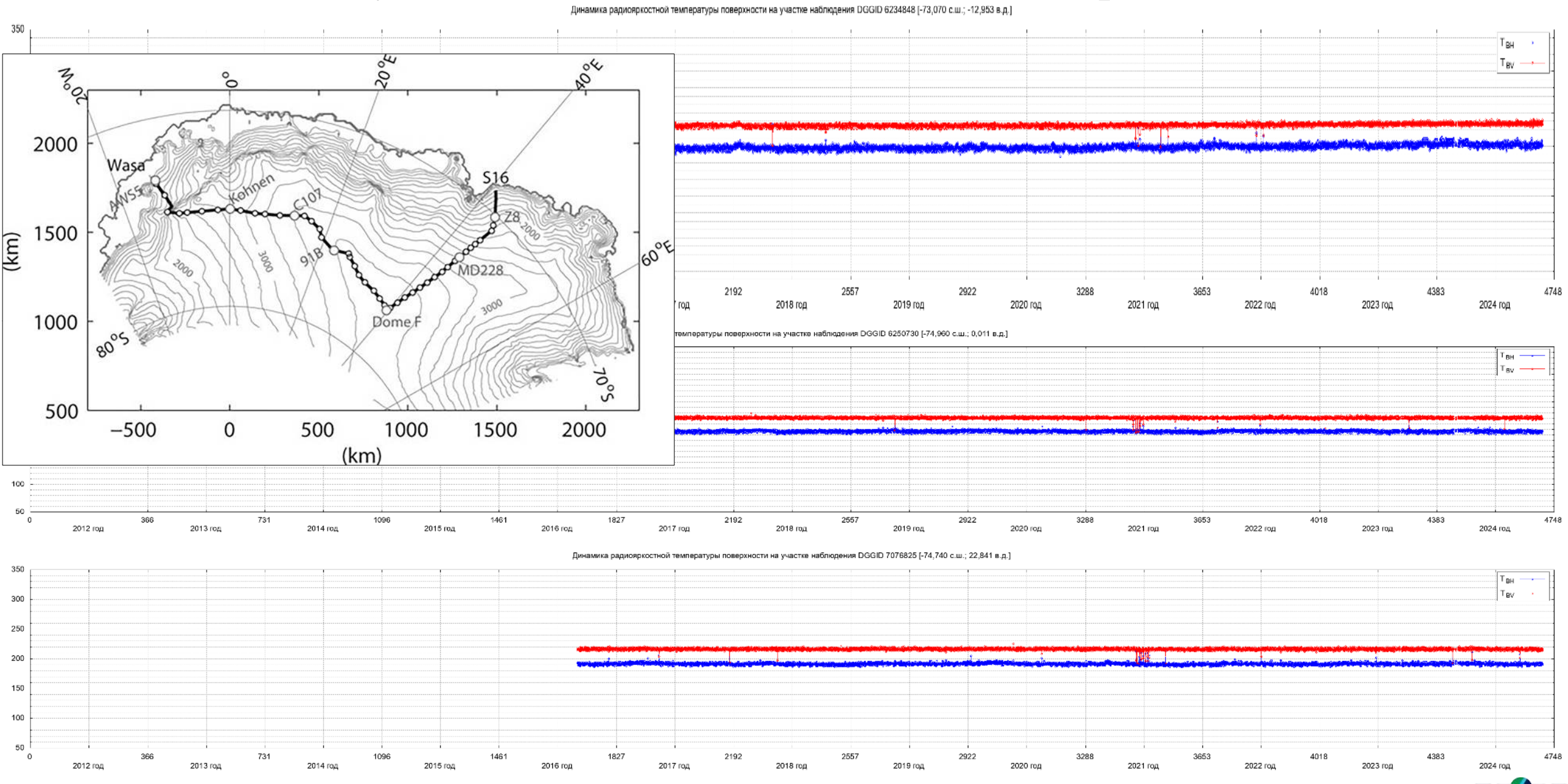
Развитие элементной базы для СВЧ-устройств – комплексная проблема, требующая эффективной межведомственной кооперации всех заинтересованных участников



#### Рост загрязненности радиодиапазона в Арктике



## Шумовая/помеховая обстановка в Антарктиде



XIII Международная школа-семинар «Спутниковые методы и системы изучения Земли», Таруса, 24.05.2025

Подспутниковый эксперимент ИКИ РАН с борта атомного ледокола «Ямал»

